

Figura 3.14 – Variogramas omnidirecionais construídos com os logaritmos dos dados hidrogeoquímicos de (a) Ba^{2+} , (b) F^- , (c) NO_3^- , (d) Cl^- e (e) Br^- .

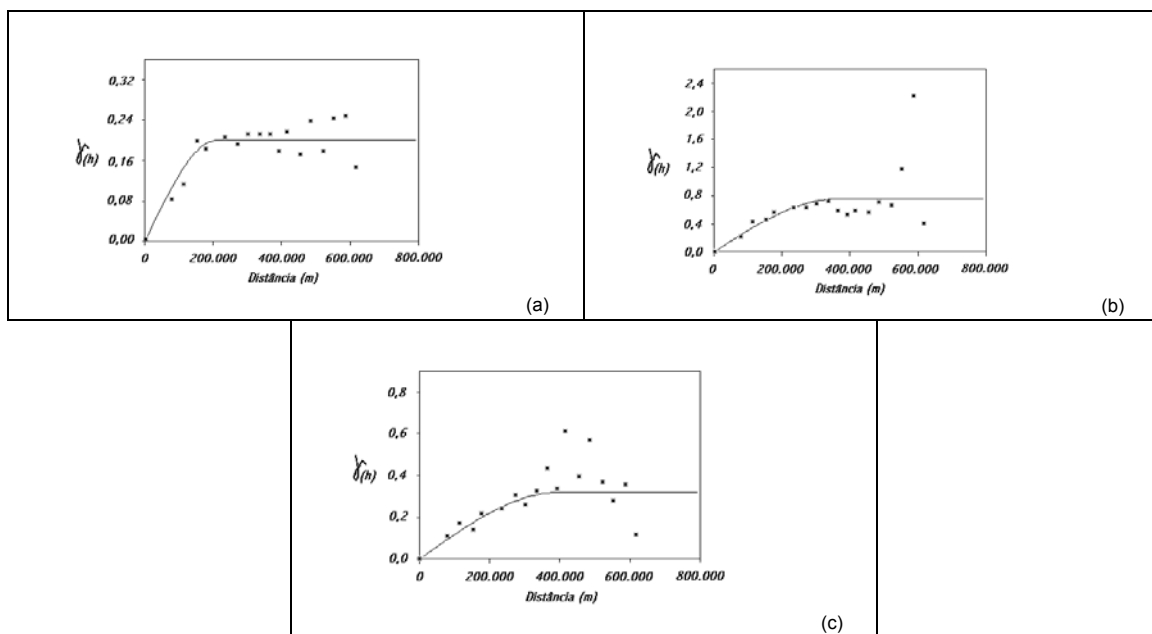


Figura 3.15 – Variogramas omnidirecionais construídos com os logaritmos dos dados de (a) Mo, (b) Se e (c) W, nas sub-células GGRN.